

УДК 541.49:546.593:547.233:548.73

**РЕНТГЕНОСТРУКТУРНОЕ ИССЛЕДОВАНИЕ
ТЕТРАХЛОРОАУРАТОВ(III) ЭТИЛЕНДИАМИНИЯ**

Е.В. Макотченко^{1,2}, И.А. Байдина¹, Л.А. Шелудякова^{1,2}

¹Институт неорганической химии им. А.В. Николаева СО РАН, Новосибирск, e-mail: evm@niic.nsc.ru

²Новосибирский государственный университет

Статья поступила 8 ноября 2011 г.

С доработки — 23 января 2012 г.

Получены комплексы $(EnH_2)[AuCl_4]_2 \cdot 2H_2O$ (**I**) и $(EnH_2)_2[AuCl_4]Cl_3$ (**II**) (EnH_2^{2+} — дипротонированный этилендиамин), которые охарактеризованы методами элементного, рентгеноструктурного, термогравиметрического анализа, ИК и КР спектроскопии. Для **I** кристаллы моноклинные, кристаллизуются в пр. гр. $P2_1/c$, $a = 7,5870(2)$, $b = 9,5665(2)$, $c = 11,4706(3)$ Å, $\beta = 107,0480(10)^\circ$, $V = 795,97(3)$ Å³, $Z = 4$. Для **II** кристаллы ромбические, кристаллизуются в пр. гр. $Pnma$, $a = 12,7088(3)$, $b = 17,7435(5)$, $c = 7,4992(2)$ Å, $V = 1691,06(8)$ Å³, $Z = 8$.

Ключевые слова: золото, этилендиамин, кристаллохимия, рентгеноструктурный анализ.

К настоящему времени выделен и структурно охарактеризован ряд комплексов золота(III) с этилендиамином (En) в качестве лиганда, например $[AuEn_2]X_3$, где X = Cl⁻, ClO₄⁻, $[AuEnCl_2]Cl$ [1—3]. Они получены замещением хлорид-ионов в $[AuCl_4]^-$ на этилендиамин. Последний в кислых растворах существует в основном в виде дипротонированной формы $[H_3N(CH_2)_2NH_3]^{2+}$ (этилендиаминий, далее EnH_2^{2+}), которая является двухзарядным катионом. Для En константы протонирования $lg\beta_{1H} = 10,13$, $lg\beta_{2H} = 17,6$ [4]. На получение комплекса $(EnH_2)[AuCl_4]_2 \cdot 2H_2O$ указано в работе [5], но структурные исследования для него отсутствуют. Данные о строении комплексов $[AuCl_4]^-$ с двухзарядными катионами интересны в плане расширения представлений о стехиометрических типах и строении комплексных форм золота. Структурные данные для комплексов $[AuCl_4]^-$ с двухзарядными простыми неорганическими или органическими катионами в литературе отсутствуют. Имеются лишь сведения о строении комплексов с объемными неорганическими комплексными катионами. Так, в работах [6—8] описаны структуры двойных комплексных солей (ДКС) $[Pd(NH_3)_4][AuCl_4]_2$, $[M(NH_3)_5Cl][AuCl_4]Cl \cdot nH_2O$, где M = Ir, Rh, Ru, Cr. В состав последних ДКС наряду с анионом $[AuCl_4]^-$ входит также анион Cl⁻. Для атома золота в этих соединениях выявлено координационное окружение 4+1 или 4+2, что характерно и для других ДКС, содержащих в своем составе анион $[AuCl_4]^-$ [9].

Целью настоящей работы явилось получение и изучение строения комплексов $[AuCl_4]^-$ с этилендиаминием — $(EnH_2)[AuCl_4]_2 \cdot 2H_2O$ (**I**) и $(EnH_2)_2[AuCl_4]Cl_3$ (**II**).

ЭКСПЕРИМЕНТАЛЬНАЯ ЧАСТЬ

В качестве исходных веществ использовали HAuCl₄, этилендиамин (фирма "Вектон"), этилендиамин солянокислый (En·2HCl) (Ч). Раствор HAuCl₄ готовили растворением металлического золота в "царской водке" с последующим трехкратным выпариванием с концентрирован-

ной соляной кислотой. Этилендиамин использовали без дополнительной очистки. Этилендиамин солянокислый перекристаллизовывали из водно-этанольного раствора.

Синтез I. 0,03 мл этилендиамина (0,49 ммоль) добавляли при перемешивании к солянокислому раствору HAuCl₄ (0,50 мл 0,9 М HAuCl₄ в 1,0 мл 5,5 М HCl). Реакционную смесь охлаждали в ледяной бане. Получившийся осадок отфильтровывали под вакуумом, промывали на фильтре небольшим количеством соляной кислоты (1,0 М) и высушивали на воздухе. Получено 0,12 г желтого мелкокристаллического порошка, выход ~70 %. Это же соединение было получено, когда 1,0 мл 1,5 М HAuCl₄ добавляли порциями при перемешивании к солянокислому раствору En·2HCl (0,75 ммоль в 0,5 мл 0,1 М HCl). Получившийся осадок отфильтровывали, промывали на фильтре небольшим количеством соляной кислоты (1,0 М) и высушивали на воздухе. Получено 0,522 г мелкокристаллического желтого порошка, выход 90 %. Для C₂H₁₄N₂O₂Cl₈Au₂ найдено/вычислено, %: C 3,1/3,1; H 1,9/1,82; N 3,5/3,61; Au 50,1/50,78.

Синтез II. 0,055 мл этилендиамина (0,90 ммоль) добавляли при перемешивании к солянокислому раствору HAuCl₄ (0,50 мл 0,9 М HAuCl₄ в 1,0 мл 11,6 М HCl). Реакционную смесь охлаждали в ледяной бане. Осадок отфильтровывали, промывали на фильтре небольшим количеством соляной кислоты (8 М HCl) и высушивали на воздухе. Получено 0,21 г темно-желтого мелкокристаллического порошка, выход 80 %. Для C₄H₂₀N₄Cl₇Au найдено/вычислено, %: C 8,5/8,44; H 3,7/3,54; N 9,7/9,84; Au 35,1/34,59.

Таблица 1

Кристаллографические данные и условия дифракционного эксперимента для (EnH₂)₂[AuCl₄]₂·2H₂O (**I**) и (EnH₂)₂[AuCl₄]Cl₃ (**II**)

Параметр	I	II
Брутто-формула	C ₂ H ₁₄ Au ₂ Cl ₈ N ₂ O ₂	C ₄ H ₂₀ AuCl ₇ N ₄
<i>M</i>	775,68	569,36
Температура, К	90(2)	296(2)
Сингония	Моноклинная	Ромбическая
Пр. гр.	<i>P</i> 2 ₁ /c	<i>Pnma</i>
<i>a</i> , <i>b</i> , <i>c</i> , Å; β, град.	7,5870(2), 9,5665(2), 11,4706(3); 107,0480(10)	12,7088(3), 17,7435(5), 7,4992(2); 90
<i>V</i> , Å ³	795,97(3)	1691,06(8)
<i>Z</i> , ρ _{выч} , г/см ³	2, 3,236	4, 2,236
μ, мм ⁻¹	19,740	9,789
<i>F</i> (000)	700	1080
Размер кристалла, мм	0,22×0,12×0,12	0,25×0,20×0,20
Диапазон θ, град.	от 3,52 до 31,38	от 2,30 до 32,57
Диапазон индексов	-8 ≤ <i>h</i> ≤ 10, -13 ≤ <i>k</i> ≤ 11, -15 ≤ <i>l</i> ≤ 14	-10 ≤ <i>h</i> ≤ 19, -26 ≤ <i>k</i> ≤ 26, -10 ≤ <i>l</i> ≤ 11
Число измер. / независ. рефлексов	6508 / 2288 [<i>R</i> _{int} = 0,0222]	16940 / 3165 [<i>R</i> _{int} = 0,0245]
Полнота сбора данных по θ = 25,00°, %	99,9	99,9
Метод уточнения	Полноматричный МНК по <i>F</i> ²	Полноматричный МНК по <i>F</i> ²
Число рефлексов /ogr. / параметров	2288 / 0 / 105	3165 / 0 / 120
GOOF	1,013	1,071
<i>R</i> -фактор [<i>I</i> > 2σ(<i>I</i>)]	<i>R</i> ₁ = 0,0198, <i>wR</i> ₂ = 0,0388	<i>R</i> ₁ = 0,0167, <i>wR</i> ₂ = 0,0344
<i>R</i> -фактор (все данные)	<i>R</i> ₁ = 0,0291, <i>wR</i> ₂ = 0,0412	<i>R</i> ₁ = 0,0210, <i>wR</i> ₂ = 0,0353
Коэффициент экстинкции	0,00204(10)	0,00283(8)
Остаточная электронная плотность (max и min), e·Å ⁻³	1,344 и -0,984	0,852 и -0,783

Таблица 2

Основные межатомные расстояния (d , Å) и валентные углы (ω , град)
в структурах $(\text{EnH}_2)[\text{AuCl}_4]_2 \cdot 2\text{H}_2\text{O}$ (I) и $(\text{EnH}_2)_2[\text{AuCl}_4]\text{Cl}_3$ (II)

Связь	d	Угол	ω	Связь	d	Угол	ω
I				II			
Au(1)—Cl(2)	2,2856(7)	Cl(2)Au(1)Cl(1)	88,90(3)	Au(1)—Cl(3)	2,2709(8)	Cl(3)Au(1)Cl(2)	90,14(2)
Au(1)—Cl(1)	2,2858(7)	Cl(4)Au(2)Cl(3)	90,86(3)	Au(1)—Cl(2)	2,2835(6)	Cl(2)Au(1)Cl(2)#2	178,67(4)
Au(2)—Cl(4)	2,2862(7)	N(1)C(1)C(1)#1	110,7(3)	Au(1)—Cl(1)	2,2910(6)	Cl(3)Au(1)Cl(1)	179,93(3)
Au(2)—Cl(3)	2,2881(8)			N(1)—C(1)	1,481(3)	Cl(2)Au(1)Cl(1)	89,86(2)
N(1)—C(1)	1,484(4)			N(2)—C(2)	1,477(3)	N(1)C(1)C(2)	110,13(2)
C(1)—C(1)#1	1,513(6)			C(1)—C(2)	1,508(3)	N(2)C(2)C(1)	110,90(2)

Примечание. Операторы симметрии, используемые для генерации эквивалентных атомов:
#1 $-x+2, -y+1, -z+1$; #2 $x, -y+3/2, z$.

Элементный анализ на содержание C, H, N выполнен на CHN-анализаторе Euro EA 3000 по стандартной методике, содержание золота определено спектрофотометрическим методом.

ИК спектры регистрировали на Фурье-спектрометрах Scimitar FTS 2000 и Vertex 80 в вазелиновом и фторированном масле (400—4000 cm^{-1}) и полиэтилене (100—600 cm^{-1}), спектры КР записывали на спектрометре Triplemate Spex.

Термогравиметрические измерения в атмосфере гелия в интервале температур 20—600 °C проводили на термовесах TG 209 F1 Iris фирмы NETZSCH (масса навески 24—40 мг, Al_2O_3 -тигель, ток гелия 30 мл/мин, скорость нагрева 10 град./мин).

PCA. Монокристаллы для PCA выращены путем медленной кристаллизации из маточных растворов при комнатной температуре. Параметры элементарной ячейки и экспериментальные интенсивности для расшифровки кристаллических структур измерены на автоматическом четырехкружном дифрактометре Bruker—Nonius X8 Apex, оснащенном двухкоординатным CCD-детектором (MoK_{α} -излучение, графитовый монохроматор). Кристаллографические данные и параметры экспериментов приведены в табл. 1. Координаты базисных атомов депонированы в Кембриджском банке структурных данных (CCDC) (№ 825947 и № 826113 для I и II соответственно).

Структуры соединений расшифрованы прямым методом и уточнены полиноматическим МНК в анизотропно-изотропном (для H) приближении. Положение атомов водорода задано геометрически. Основные величины межатомных расстояний и валентных углов приведены в табл. 2. Все расчеты проведены по комплексу программ SHELX-97 [10]. Индицирование дифрактограмм поликристаллов (ДРОН-3М, CuK_{α} -излучение) проведено по данным исследования монокристаллов. Лишних линий не обнаружено, что свидетельствует об однофазности полученных продуктов.

РЕЗУЛЬТАТЫ И ИХ ОБСУЖДЕНИЕ

При взаимодействии HAuCl_4 с этилендиамином в солянокислой среде в зависимости от условий проведения реакции получены комплексы разного стехиометрического состава. Комплекс I выпадает в осадок при $C_{\text{Au}} \sim 0,45$ M, мольном отношении $[\text{AuCl}_4]^-$ к En 2:1 в 3,6 M HCl, а комплекс II получали при $C_{\text{Au}} \sim 0,45$ M, мольном отношении $[\text{AuCl}_4]^-$ к En 1:2 в 8 M HCl. Полученные соединения при хранении на воздухе устойчивы. Они растворимы в воде, но их водные растворы неустойчивы вследствие протекания реакции замещения Cl^- на En в комплексе $[\text{AuCl}_4]^-$ [11]. Соединение I растворимо в ацетоне, этиловом спирте, а соединение II в этих растворителях растворяется частично, давая раствор желтого цвета и белый осадок ($\text{En} \cdot 2\text{HCl}$).

Наличие кристаллизационной воды для I подтверждается данными ИК спектроскопии (полосы валентных колебаний воды при 3528, 3473 cm^{-1}) и термических исследований. Изучение

Рис. 1. Строение структурных единиц и нумерация атомов в кристалле I

термического поведения I и II в атмосфере гелия показало следующее. Для соединения I на кривой ДТА наблюдаются две ступени: первая при температуре 50—170 °C, вторая — при 170—250 °C, причем первая ступень сопровождается эндоэффектом, вторая — значительным экзоэффектом. Потеря массы на первой ступени составляет 4,6 %, что соответствует удалению двух молекул воды (вычисленное содержание воды для I — 4,64 %). Вторая ступень соответствует разложению обезвоженного комплекса, при котором, вероятно, протекает окислительно-восстановительное взаимодействие между золотом(III) и этилендиамином. Разложение II протекает в диапазоне температур 170—350 °C и является последовательностью двух плохо разделенных ступеней, сопровождающихся эндоэффектами. По данным РФА, конечным продуктом разложения обоих соединений при нагреве до 500 °C является металлическое золото. Масса остатков превышает расчетную, что, по-видимому, связано с образованием аморфного углерода в ходе термолиза.

Данные о взаимном расположении катионов и анионов в I и II получены в результате изучения их кристаллических структур.

Структура I построена из катионов EnH_2^{2+} , комплексных анионов $[\text{AuCl}_4]^-$ и молекул кристаллизационной воды. Строение структурных единиц с нумерацией атомов показано на рис. 1. В структуре атомы золота занимают две кристаллографически независимые позиции в центрах симметрии. Комплексные анионы представляют собой слабоискаженные квадраты со средним значением расстояний Au—Cl 2,286 Å, валентные углы отклоняются от 90° не более чем на 1,1°. Атомы хлора соседних комплексных анионов находятся на расстояниях Au...Cl 3,540 и 3,727 Å. За счет таких дополнительных слабых межмолекулярных контактов в структуре вдоль кратчайшей оси X формируются бесконечные анионные стопки с расстоянием Au...Au 3,793 Å. Катион EnH_2^{2+} обладает центром симметрии, расстояния N—C и C—C равны 1,484 и 1,513 Å соответственно, валентный угол NCC 110,7°. Полученные геометрические характеристики для EnH_2^{2+} согласуются с литературными данными, например для $\text{EnH}_2[\text{IrCl}_6]$ [12]. Молекулы кристаллизационной воды в структуре I не входят в координационную сферу атомов золота.

Проекция структуры I вдоль оси X показана на рис. 2. Одномерные анионные стопки, упаковываясь, образуют каналы, в которых размещаются катионы EnH_2^{2+} .

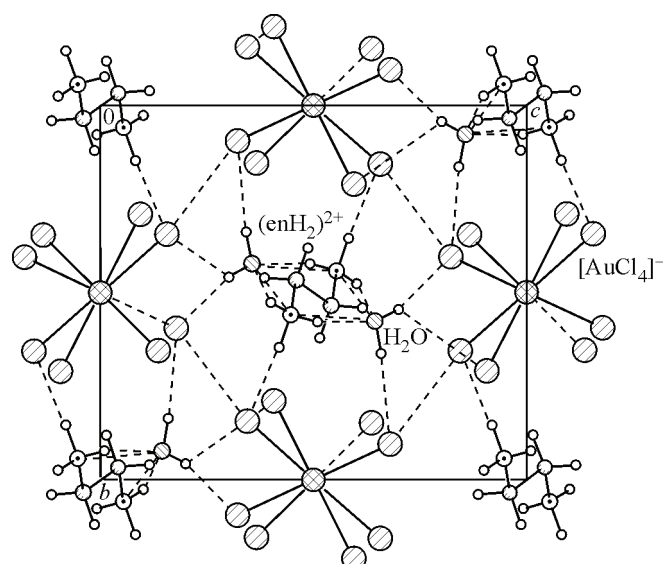
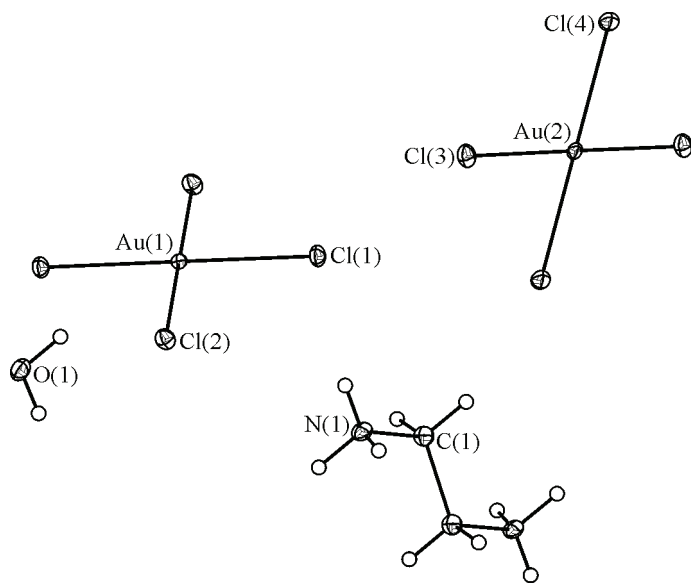


Рис. 2. Общий вид кристаллической структуры I вдоль оси X.

Штриховыми линиями показаны дополнительные контакты Cl...Cl и водородные связи

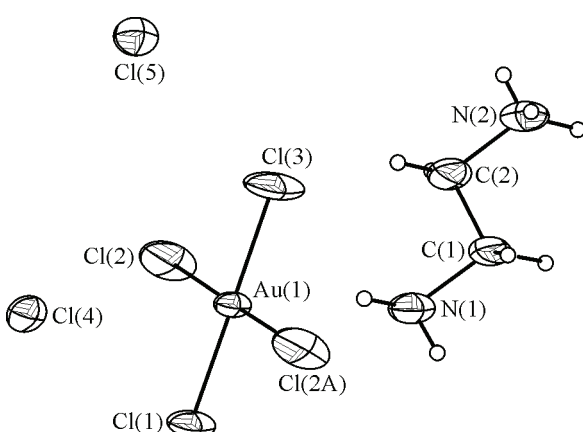


Рис. 3. Строение структурных единиц и нумерация атомов в кристалле II

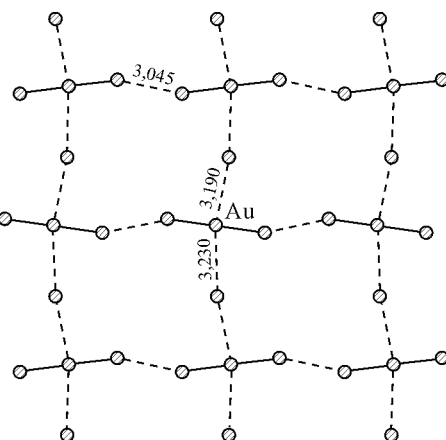


Рис. 4. Образование анионного слоя $\sim([AuCl_4]^-Cl^-)^{2-} \sim$ в структуре II

и молекулы кристаллизационной воды. Схожая упаковка анионов $[AuCl_4]^-$ найдена и в других комплексах, например $DienH_3[AuCl_4]_3 \cdot H_2O$ [13]. Структуру I стабилизируют многочисленные Н-связи типа N—H...O и N—H...Cl, которыми в кристалле связаны между собой структурные единицы. Катионы EnH_2^{2+} образуют водородные связи с молекулами воды, а также с атомами Cl соседних анионных комплексов, кратчайшие оценки расстояний N...O для этих связей составляют 2,83, 2,87 Å, расстояния N...Cl > 3,19 Å. Следует отметить, что в структуре имеются межмолекулярные контакты Cl...Cl между анионами $[AuCl_4]^-$ с расстояниями 3,390 Å, которые короче суммы ван-дер-ваальсовых радиусов атомов хлора (3,5 Å). Наличие таких укороченных межмолекулярных контактов между атомами хлора соседних анионов золота зафиксировано в структурах ряда комплексов, например, 3,25, 3,36 Å в $[Pd(NH_3)_4][AuCl_4]_2$ [7], 3,22, 3,41 Å в $DienH_3[AuCl_4]_3 \cdot H_2O$ [13], 3,44 Å в $[Co(NH_3)_6][AuCl_4]Cl_2$ [14], 3,337 Å в $(Ph_3PhCH_2P)[AuCl_4]$ [15].

Структура II построена из катионов EnH_2^{2+} , комплексных анионов $[AuCl_4]^-$ и некоординированных анионов Cl^- . Строение структурных единиц с нумерацией атомов показано на рис. 3. Квадратный анион золота лежит на зеркальной плоскости, длина связи Au—Cl (сред) составляет 2,281 Å, валентные углы в пределах 0,2° прямые. Квадратная координация атома золота дополняется до бипирамидальной некоординированными атомами Cl(4). Расстояния Au...Cl_{акс} равны 3,190 и 3,230 Å, а угол ClAuCl — 166,6°. За счет таких дополнительных взаимодействий в структуре перпендикулярно оси Y формируются анионные слои $\sim([AuCl_4]Cl)^{2-} \sim$ с расстояниями Au...Au 6,398—7,499 Å. В слое следует также отметить наличие укороченных межмолекулярных контактов Cl...Cl между соседними анионами $[AuCl_4]^-$, имеющих оценки 3,045 Å, что меньше стороны квадрата аниона золота, равной 3,231 Å (рис. 4).

В катионе EnH_2^{2+} для II значения расстояний N—C_{cp} и C—C равны 1,479 и 1,525 Å соответственно, валентные углы (сред) — 110,5°. Катионы EnH_2^{2+} и еще один внешнесферный анион Cl(5) образуют в структуре двойные катионные слои, также перпендикулярные оси Y. В образующихся катионных слоях ионы связаны водородными связями N—H...Cl, имеющими оценки 3,15—3,20 Å для N...Cl. Упаковка ионов в кристаллической решетке II показана на рис. 5. Общий характер структуры II, в отличие от структуры I, слоистый: слои катионов $\sim(EnH_2^{2+} Cl^-)^+$, в которых располагаются свободные анионы Cl^- , чередуются со слоями комплексных анионов $\sim([AuCl_4]^-Cl^-)^{2-} \sim$. Отметим, что для ранее полученного соединения с такой же брутто-формулой $C_4H_{20}N_4AuCl_7$, как и для II, предложена формула $[AuCl_2(C_2H_4(NH_3)_2Cl_2)_2]Cl$ [16].

В ИК спектрах комплексов I и II полосы поглощения катионов EnH_2^{2+} , обусловленные колебаниями связей NH, находятся в области 3150—2600 (I) и 3200—2400 см⁻¹ (II). Полосы

Рис. 5. Упаковка структурных единиц в кристалле II в направлении оси X

$\nu(\text{H}_2\text{O})$ (комплекс I) наблюдаются при 3528 и 3473 cm^{-1} . Колебательные частоты аниона приведены в табл. 3. Отнесение сделано на основании [17, 18]. Для сравнения в табл. 3 также представлены частоты аниона комплексов $(\text{DienH}_3)[\text{AuCl}_4]_3 \cdot \text{H}_2\text{O}$ и $(\text{DienH}_3)_2[\text{AuCl}_4]\text{Cl}_5$ (DienH_3^{3+} — протонированный диэтилентриамин $\text{H}_3\text{N}(\text{CH}_2)_2\text{NH}_2(\text{CH}_2)_2\text{NH}_3^{3+}$), для которых впервые получены спектры КР (ИК спектры обсуждены ранее [13]). Спектры приведенных комплексов в области колебаний Au—Cl в целом подобны спектру аниона $[\text{AuCl}_4]^-$, имеющего строение плоского квадрата с симметрией D_{4h} . Следует отметить отличие ИК спектров I и II в диапазоне 200—100 cm^{-1} , где проявляются плоскостные и внеплоскостные деформационные колебания ν_3 , ν_7 : в спектре II наблюдаются широкие полосы с размытыми максимумами. Подобная картина наблюдалась в ИК спектре комплекса $(\text{DienH}_3)_2[\text{AuCl}_4]\text{Cl}_5$, для которого съемка спектра лишь при температуре -193°C позволила выделить полосы в заданной области [13]. В высокочастотной области для II наблюдается более широкая интенсивная полоса, тогда как в I полосы $\nu(\text{NH})$ более четкие.

Таким образом, в данной работе получены и исследованы комплексы золота(III) $(\text{EnH}_2) \cdot [\text{AuCl}_4]_2 \cdot 2\text{H}_2\text{O}$ и $(\text{EnH}_2)_2[\text{AuCl}_4]\text{Cl}_3$. Как и следовало ожидать, дважды протонированный этилендиамин не координируется золотом. Анион $[\text{AuCl}_4]^-$ в обоих соединениях имеет координационное окружение (4+2), ковалентные связи Au—Cl лежат в интервале 2,271—2,291 Å, дополнительные аксиальные контакты Au...Cl 3,190—3,727 Å. Органические и неорганические части структуры связаны водородными связями. Следует отметить наличие между анионами золота укороченных (меньше чем 3,5 Å) межмолекулярных контактов Cl...Cl, имеющих оценки 3,045 и 3,390 Å.

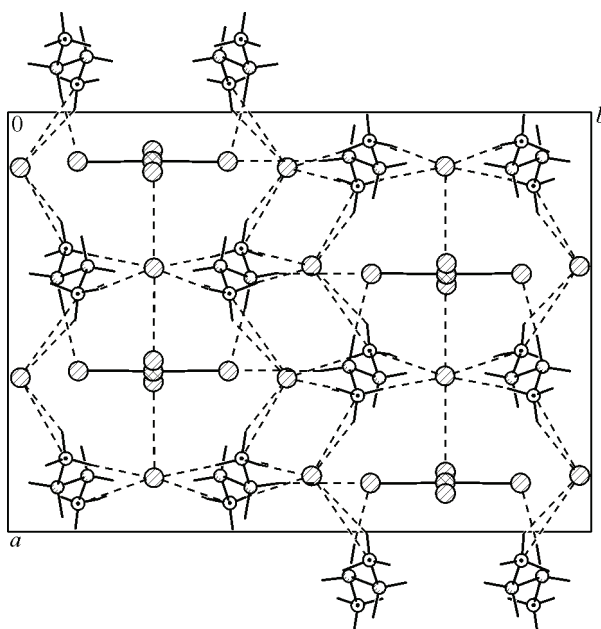


Таблица 3

Колебательные частоты (cm^{-1}) тетрахлороаурат-аниона в области 600—100 cm^{-1} для ряда соединений

Соединение	КР			ИК		
	$\nu_1(A_{1g})$	$\nu_2(B_{1g})$	$\nu_4(B_{2g})$	$\nu_6(E_u)$	$\nu_7(E_u)$	$\nu_3(A_{2u})$
$[\text{AuCl}_4]^-$ [17]	347	324	171	356	173	143
$(\text{EnH}_2)[\text{AuCl}_4]_2 \cdot 2\text{H}_2\text{O}$	347	324	175	352	178	136
$(\text{EnH}_2)_2[\text{AuCl}_4]\text{Cl}_3$	341	323	167	354, 346	166ш	130ш
$(\text{DienH}_3)[\text{AuCl}_4]_3 \cdot \text{H}_2\text{O}$	348	328	179	353, 370	169*	142*
$(\text{DienH}_3)_2[\text{AuCl}_4]\text{Cl}_5$	338	315	173	355, 362	169*, 161*	140*

Примечания. ш — широкая, * сняты при -193°C .

Авторы выражают благодарность к.х.н. И.В. Королькову за проведение РФА и к.х.н. П.Е. Плюснину за снятие термограмм.

СПИСОК ЛИТЕРАТУРЫ

1. Миначева Л.Х., Садиков Г.Г., Сахарова В.Г. и др. // Координац. химия. – 1986. – **12**, № 10. – С. 1417.
2. Миначева Л.Х., Гладкая А.Ш., Сахарова В.Г и др. // Журн. неорган. химии. – 1988. – **33**, № 3. – С. 683.
3. Zhu S., Gorski W., Powell D.R., Walmsley J.A. // Inorg. Chem. – 2006. – **45**. – Р. 2688.
4. Sadofeev I.G., Mironov I.V. // Ber. Bunsenges. Phys. Chem. – 1998. – **102**. – Р. 32.
5. Gutbier A., Obermaier C.J. // Z. Anorg. Chem. – 1911. – **70**. – С. 414.
6. Плюснин П.Е., Байдина И.А., Шубин Ю.В., Коренев С.В. // Журн. неорган. химии. – 2005. – **50**, № 12. – С. 1959.
7. Плюснин П.Е., Байдина И.А., Шубин Ю.В., Коренев С.В. // Журн. неорган. химии. – 2007. – **52**, № 3. – С. 421.
8. Плюснин П.Е., Байдина И.А., Шубин Ю.В., Коренев С.В. // Журн. неорган. химии. – 2008. – **53**, № 11. – С. 1844.
9. Байдина И.А., Макотченко Е.В., Плюснин П.Е., Коренев С.В. // Тез. докл. XXIII Междунар. Чугаевской конф. по координац. химии, Одесса, 4—7 сентября, 2007. – Киев: Киев. ун-т, 2007.
10. Sheldrick G.M. SHELX-97. University of Göttingen, Germany, 1997.
11. Миронов И.В., Цвелодуб Л.Д. // Журн. неорган. химии. – 2000. – **45**, № 3. – С. 425.
12. Байдина И.А., Коренев С.В., Макотченко Е.В., Громилов С.А. // Журн. структур. химии. – 2005. – **46**, № 4. – С. 747.
13. Макотченко Е.В., Байдина И.А., Шелудякова Л.А. // Журн. неорган. химии. – 2011. – **56**, № 5. – С. 762.
14. Макотченко Е.В., Байдина И.А., Плюснин П.Е. // Журн. структур. химии. – 2007. – **48**, № 2. – С. 282.
15. Шарутин В.В., Сенчурин В.С., Шарутина О.К. и др. // Журн. неорган. химии. – 2010. – **55**, № 9. – С. 1499.
16. Gutbier A., Obermaier C.J. // Z. Anorg. Chem. – 1923. – **129**. – С. 89.
17. Cattalini L., Clark R.J.H., Orio A., Poon C.K. // Inorg. Chim. Acta. – 1968. – **2**, N 1. – Р. 62.
18. Накамото К. ИК спектры и спектры КР неорганических и координационных соединений. – М.: Мир, 1991.